

Прямая задача: Определить ток  $I$ , необходимый для создания в сердечнике индукции  $B = 1 \text{ Тл}$ .

Обратная задача: Известно  $Iw = 100 \text{ А}\cdot\text{вит}$ . При тех же условиях определить поток  $\Phi$  и индукцию  $B$ .

Решение. Для решения прямой задачи предполагается приведенная ниже последовательность  $\Phi = B - H - Iw - I$ :

1. По кривой намагничивания для  $B = 1 \text{ Тл}$  находим  $H = 300 \text{ А/м}$ .

2. В соответствии с законом полного тока имеем

$$Iw = Hl = 300 \cdot 0,2 = 60 \text{ А}\cdot\text{вит}, \text{ а с } S = 8 \cdot 10^{-4} \text{ м}^2 \text{ имеем}$$

$$I = Iw / w = 60 / 100 = 0,6 \text{ А}$$

Для решения обратной задачи задано:  $Iw = 100 \text{ А}\cdot\text{вит}$ ; определим поток  $\Phi$  и индукцию  $B$ .

1. Находим напряженность магнитного поля, используя закон полного тока для неразветвленной магнитной цепи;

$$H = Iw / l = 100 / 0,2 = 500 \text{ А/м}$$

2. Зная, что  $H = 500 \text{ А/м}$ , по кривой намагничивания материала сердечника определяем  $B = 1,17 \text{ Тл}$ .

3. Вычисляем значение магнитного потока в сердечнике, ответ:  $\Phi = 1,17 \text{ Тл}$ :

$$\Phi = BS = 1,17 \cdot 10^{-4} = 1,17 \cdot 10^{-4} \text{ Вб}$$

Строим вебер-амперную характеристику цепи. Задаваясь произвольными значениями  $\Phi$ , определяем  $Iw$  (см. последовательности решения прямой задачи):

$\Phi$ , Вб	...	$0,1 \cdot 10^{-4}$	$1,17 \cdot 10^{-4}$	$1,3 \cdot 10^{-4}$	$1,45 \cdot 10^{-4}$	$1,6 \cdot 10^{-4}$
$Iw$ , А·вит	...	0,60	100	150	200	250

Вебер-амперная характеристика цепи представлена на рис. 290 (кривая 1).

Задача 5.2. Прямая задача: известно, что в сердечнике имеется воздушный зазор  $\delta = 1 \text{ мм}$ ; остальные параметры те же, что в задаче 5.1. Определить ток  $I$ , необходимый для создания индукции  $B = 1 \text{ Тл}$ .

Решение.

1. Так как магнитная цепь неразветвленная, магнитный поток

...

...

...

...

...

...

...

...

...

в сердечнике и в зазоре одинаково: следовательно,  $B_{ст} = B_{вз} = B = 1 \text{ Тл}$ .

2. Зная, что  $B_{ст} = 1 \text{ Тл}$ , по кривой намагничивания определяем  $H_{ст} = 300 \text{ А/м}$ . Находим напряженность поля в воздушном зазоре:

$$H_{вз} = B_{вз} / \mu_0 = 0,8 \cdot 10^6 \text{ А/м}, \text{ где } \mu_0 = 4\pi \cdot 10^{-7} \text{ Гн/м const.}$$

3. По закону полного тока имеем

$$Iw = H_{ст} l_{ст} + H_{вз} \delta = 300 \cdot 0,2 + 0,8 \cdot 10^6 \cdot 10^{-3} = 860 \text{ А}\cdot\text{вит}$$

(полагаем, что  $l_{ст} \gg \delta$  и поэтому значением  $\delta$  можно пренебречь).

4. Определяем ток, необходимый для создания индукции  $B = 1 \text{ Тл}$ :

$$I = Iw / w = 860 / 100 = 8,6 \text{ А}$$

Примечание. При наличии воздушного зазора для получения того же значения индукции  $B = 1 \text{ Тл}$  требуется в  $8,6/0,6 = 14$  раз больший ток.

Обратная задача. Известно:  $Iw = 600 \text{ А}\cdot\text{вит}$ . Определить магнитную индукцию  $B$  и магнитный поток  $\Phi$  в сердечнике.

Решение.

1-й способ. На основании закона полного тока имеем

$$Iw = H_{ст} l_{ст} + H_{вз} \delta = 600$$

$$H_{ст} \cdot 0,2 + H_{вз} \cdot 10^{-3} = 600$$

Уравнение одно, а неизвестных величин - две:  $H_{ст}$  и  $H_{вз}$ . Для решения необходимо построить вебер-амперную характеристику (ВАХ) цепи, задаваясь произвольными значениями  $\Phi$  (или  $B$ ), и решая несколько прямых задач:

$B$ , Тл	...	0	0,1	0,3	0,65	0,8	1,0
$\Phi$ , Вб	...	0	$0,1 \cdot 10^{-4}$	$0,3 \cdot 10^{-4}$	$0,65 \cdot 10^{-4}$	$0,8 \cdot 10^{-4}$	$1,0 \cdot 10^{-4}$
$Iw$ , А·вит	...	0	88	252	544	676	860

Строим ВБАХ (кривая 2 на рис. 29б). По известному значению  $I_w = 600$  и по кривой 2 определяем поток  $\Phi = 0,72 \cdot 10^{-4}$  Вб и индукцию

$$\bar{B} = \frac{\Phi}{S} = \frac{0,72 \cdot 10^{-4}}{10^{-4}} = 0,72 \text{ Тл.}$$

2-й способ. Обратную задачу можно решить методом обратных характеристик. Построим схему замещения магнитной цепи (рис. 29а).

На основании второго закона Кирхгофа для магнитной цепи имеем:

$$I_w = U_g + U_{MCT}, \text{ откуда } U_{MCT} = I_w - U_g = 6 \text{ В.} \quad (ж)$$

$$U_{MCT} = I_w R_g = \Phi R_g = \frac{\Phi}{\mu_0 \mu_r} \cdot 4\pi \cdot 10^{-7} \cdot 10^4 \approx 8 \cdot 10^{-5} \text{ Гн}$$

Правая часть уравнения (ж) — это линейная графически обработанная вебер-амперная характеристика воздушного зазора (характеристика 3 на рис. 29б).

$$I_w = 600 \text{ А. } \Phi_g = \frac{I_w \mu_0}{\delta} = \frac{600}{10^{-3}} = 6 \cdot 10^5 \text{ А/м}$$

$$B_g = H_g \mu_0 = 6 \cdot 10^5 \cdot 4\pi \cdot 10^{-7} \approx 0,75 \text{ Тл.}$$

Уравнение прямой 3 на рис. 29б:

$$U_{MCT} = 600 - \Phi \cdot 8 \cdot 10^6$$

Прямая 3 строится по двум точкам:

$$\Phi = 0, \quad U_{MCT} = 600 \text{ В}$$

$$U_{MCT} = 0, \quad \Phi = \frac{600}{8 \cdot 10^6} = 7,5 \cdot 10^{-5} \text{ Вб}$$

Точка пересечения характеристик 1 и 3 на рис. 29б позволяет определить  $\Phi = 0,72 \cdot 10^{-4}$  Вб ( $B = 0,72$  Тл) и  $U_{MCT} \approx 20$  В.

В случае разветвленной магнитной цепи порядок расчета следующий:

1) магнитная цепь разбивается на участки с одинаковым сечением, выполненные из однородного материала;

2) определяются геометрические размеры этих участков — средняя длина  $l$  и сечение  $S$ ;

3) составляется схема замещения магнитной цепи (см. рис. 29в), аналогичная электрической цепи с нелинейными элементами; каждый участок цепи представляется магнитным сопротивлением, а каждая обмотка с током — намагничивающей силой, направление которой в общем случае определяется по правилу правого винта; в ветвях такой схемы протекают магнитные потоки, а на элементах существуют магнитные напряжения;

4) для каждой ветви составляется уравнение, связывающее магнитное напряжение на ее зажимах с магнитным потоком;

5) в соответствии с этими уравнениями строятся ВБАХ ветвей (вспомогательные вычисления сводятся в таблицы);

6) если известна схема замещения магнитной цепи и ВБАХ ветвей, то дальнейший расчет аналогичен расчету соответствующей нелинейной электрической цепи и проводится графоаналитическим (см., например, задачу 4.2) или численным методом.

## 6. НЕЛИНЕЙНЫЕ ЦЕПИ ПЕРЕМЕННОГО ТОКА

**Задача 6.1.** Построить кривые изменения во времени потоко-сцепления  $\Psi$ , тока  $i$ , напряжения на нелинейной индуктивности  $u_L$ . Схема цепи представлена на рис. 30а, вебер-амперная характеристика  $\Psi(i)$  — на рис. 30б, график зависимости  $e(t)$  — на рис. 30в, причем  $E_m = 100$  В,  $T = 9 \cdot 10^{-4}$  с,  $r = 1000$  Ом,  $\Psi_m = 0,015$  Вб.

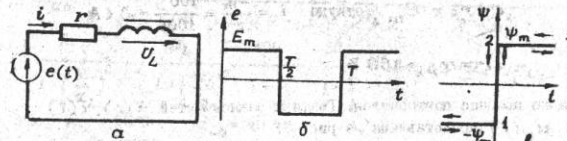


Рис. 30

**Решение.** Используем метод кусочно-линейной аппроксимации.

Принимаем в качестве начального режима цепи  $t = 0$ ,  $\Psi = -\Psi_m = -0,015$  Вб. Соотношения параметров цепи определяются уравнением, составленным по второму закону Кирхгофа:

$$e = u_r + u_L = ir + \frac{d\Psi}{dt}$$

Решаем это уравнение для отдельных участков вольт-амперной характеристики.

а. При движении точки 1...2 на ВАХ на рис. 30в:

$$0 \leq t \leq t_1, \quad i = 0, \quad e = \frac{d\Psi}{dt}$$

интегрируем последнее выражение, получаем  $\Psi = E_m t + C$ , где  $C$  - постоянная интегрирования, определяемая из начальных условий: при  $t = 0$   $\Psi = -\Psi_m$ ; следовательно,

$$C = -\Psi_m \quad \text{и} \quad \Psi = E_m t - \Psi_m$$

От точки 1 до точки 2 характеристики сердечник-перемагничивается. По времени это происходит от  $t = 0$  до  $t = t_1$ , где  $t_1$  - момент достижения логоточивлением значения  $\Psi_m$ . При  $t = t_1$  имеем:

$$\Psi_m = E_m t_1 - \Psi_m, \quad 2\Psi_m = E_m t_1, \quad \text{откуда}$$

$$t_1 = \frac{2\Psi_m}{E} = \frac{2 \cdot 0,015}{100} = 3 \cdot 10^{-4} \text{ с} = \frac{T}{3}$$

б. При движении точки 2...3 на ВАХ на рис. 30в:

$$t_1 \leq t \leq \frac{T}{2}, \quad \Psi = \Psi_m, \quad u_L = \frac{d\Psi}{dt} = 0;$$

$$e = ri = E_m, \quad \text{откуда} \quad i = \frac{E_m}{r} = \frac{100}{1000} = 0,1 \text{ А}$$

$$ir = u_r = 100 \text{ В}$$

Далее процесс повторяется. Графики зависимостей  $\Psi(t)$ ,  $i(t)$  и  $u_L(t)$  представлены на рис. 31.

42

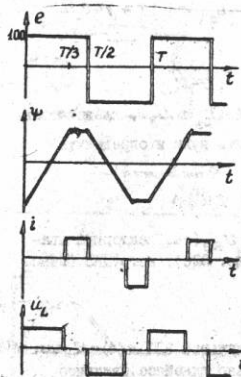


Рис. 31

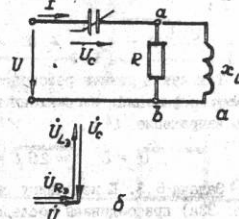


Рис. 32

**Задача 6.2.** Цепь (рис. 32а), которая питается от источника синусоидального тока, находится в режиме резонанса. Определить ток  $I$ , напряжение  $U$ , если ВАХ ЭЗ

$$U_C = 20I / (1,5 - I) \quad (U_C [\text{В}], I [\text{А}]), \quad x_L = 50 \text{ Ом}$$

(по первой гармонике),  $R = 100 \text{ Ом}$ .

**Решение.** В основу расчета положен комплексный метод анализа нелинейных цепей по первой гармонике.

1. Определяем сопротивление  $Z_{ab}$  параллельного участка в комплексной форме:

$$Z_{ab} = \frac{R \cdot jx_L}{R + jx_L} = \frac{R \cdot jx_L (R - jx_L)}{(R + jx_L)(R - jx_L)} = \frac{R \cdot x_L^2}{R^2 + x_L^2} + j \frac{R^2 x_L}{R^2 + x_L^2}$$

$$= \frac{R}{1 + \left(\frac{R}{x_L}\right)^2} + j \frac{x_L}{1 + \left(\frac{x_L}{R}\right)^2} = \frac{100}{1 + 4} + j \frac{50}{1 + \frac{1}{4}} = 20 + j40 = R_3 + jx_{L3}$$

где  $R_3 = 20 \text{ Ом}$ ,  $x_{L3} = 40 \text{ Ом}$ .

2. Составим уравнение по второму закону Кирхгофа для последовательного контура:

$$\dot{U} = \dot{U}_{R_3} + \dot{U}_{L_3} + \dot{U}_C = U_{R_3} + j(U_{L_3} - U_C) = 20I + j40I -$$

$$-j \frac{20I}{1,5-I}; \quad \dot{U} = 20I + j20I \left( 2 - \frac{1}{1,5-I} \right)$$

3. В режиме резонанса напряжений  $U_{L_3} = U_C$ , следовательно, выражение в скобке можно приравнять нулю и определить ток  $I$ :

$$2 - \frac{1}{1,5-I} = 0, \text{ откуда } I = 1 \text{ А.}$$

Так как в режиме резонанса  $U = U_{R_3}$  (см. векторную диаграмму напряжений, изображенную на рис. 32б), нетрудно вычислить напряжение  $U$ :

$$U = U_{R_3} = 20I = 20 \text{ В.}$$

**Задача 6.3.** К источнику синусоидальной ЭДС  $e(t) = E_m \sin \omega t$  (рис. 33а) присоединены последовательно линейное активное сопротивление  $r = 2500 \text{ Ом}$  и нелинейная емкость, кулон-вольтная характеристика которой изображена на рис. 33б. Амплитуда ЭДС

$$E_m = 50 \text{ В, угловая частота } \omega = 500 \text{ с}^{-1}, \text{ заряд } q_m = 10^{-5} \text{ Кл.}$$

Построить зависимости заряда  $q$ , тока  $i$  и напряжения на емкости  $u_C$  в функции  $\omega t$  при установившемся режиме.

**Решение.** Согласно характеристике конденсатора ток через него может течь и изменять заряд только при бесконечно малом напряжении между обкладками ( $u_C = 0$ ). При этом емкость бесконечна, что равносильно короткому замыканию конденсатора. Если  $u_C \neq 0$  то заряд  $q = \pm q_m$  не изменяется, ток через конденсатор не течет, дифференциальная емкость равна нулю, что равносильно обрыву цепи.

По второму закону Кирхгофа

$$ri + u_C = r \frac{dq}{dt} + u_C = E_m \sin \omega t.$$

При установившемся периодическом режиме перезарядка конденсатора от  $-q_m$  до  $q_m$  начинается в момент перехода ЭДС через нуль.

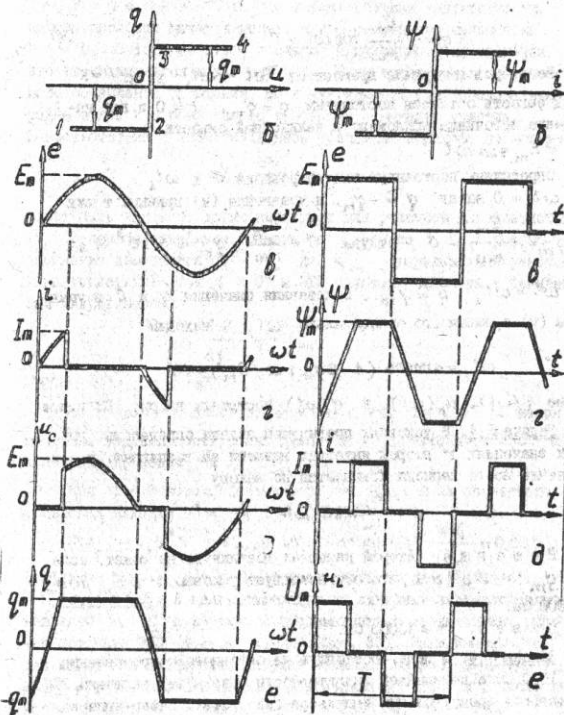
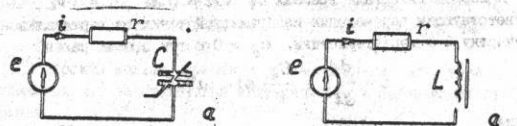


Рис. 33

Рис. 34

В первом интервале времени от  $\omega t = 0$  до  $\omega t = \omega t_1$ , соответствующем перемещению изображающей точки по вертикальному участку 2-3 характеристики,  $u_c = 0$  и ток в цепи равен

$$i = \frac{dq}{dt} = \frac{E_m}{r} \sin \omega t,$$

откуда

$$q = -\frac{E_m}{r\omega} \cos \omega t + C. \quad (ж)$$

Во втором интервале времени от  $\omega t = \omega t_1$  до  $\omega t = \pi$  заряд емкости остается постоянным  $q = q_m$ ,  $i = 0$  и все напряжение источника приложено к нелинейной емкости

$$u_c = E_m \sin \omega t.$$

Определяем постоянную интегрирования  $C$  и  $\omega t_1$ .

При  $\omega t = 0$  заряд  $q = -q_m$ , и уравнение (ж) принимает вид

$$-q_m = -\frac{E_m}{r\omega} + C, \text{ откуда } C = \frac{E_m}{r\omega} - q_m = 3 \cdot 10^{-5} \text{ Кл.}$$

При  $\omega t = \omega t_1$   $q = q_m$ . Подставляя значения  $q$  и  $C$  в уравнение (ж) и решая его относительно  $\omega t_1$ , находим

$$\omega t_1 = \arccos(1 - 2q_m r\omega / E_m) = 60^\circ.$$

Кривые  $i(\omega t)$ ,  $u_c(\omega t)$  и  $q(\omega t)$  построены на рис. 33 г, д, е.

**Задача 6.4.** В условиях предыдущей задачи определить, при каких значениях  $r$  второй интервал времени не возникает, и ток в течение всего периода изменяется по закону

$$i = \frac{E_m}{r} \sin \omega t.$$

**Решение.** Второй интервал возникнуть не может, если  $|1 - 2q_m r\omega / E_m| \geq 1$ , что соответствует условию  $r \geq E_m / \omega q_m = 10000 \text{ Ом}$ .

**О т в е т:**  $r \geq 10000 \text{ Ом}$ .

**Задача 6.5.** В цепь, состоящую из активного сопротивления  $r = 1000 \text{ Ом}$  и нелинейной индуктивности (рис. 34а), включена ЭДС, имеющая вид прямоугольных импульсов (рис. 34в). Вебер-амперная

характеристика нелинейной индуктивности показана на рис. 34б. Максимальное потокоосцепление  $\Psi_m = 0,5 \text{ Вб}$ , амплитуда ЭДС  $E_m = 200 \text{ В}$ , период  $T = 0,02 \text{ с}$ .

Построить кривые изменения потокоосцепления  $\Psi$ , тока  $i$  и напряжения  $u_L$  на нелинейной индуктивности в зависимости от времени.

**Решение.** Согласно характеристике индуктивности, потокоосцепление может изменяться при бесконечно малом токе ( $i = 0$ ). В течение этого процесса индуктивность бесконечна, что воспринимается как обрыв цепи. Если потокоосцепление равно потокоосцеплению насыщения, то индуктивность (дифференциальная) равна нулю, что равносильно короткому замыканию участка. В соответствии с этим нелинейное уравнение Кирхгофа по контуру

$$ri + \frac{d\Psi}{dt} = e$$

может быть заменено двумя линейными для участков характеристики.

В первом интервале времени от  $t = 0$  до  $t = t_1$  потокоосцепление изменяется от  $-\Psi_m$  до  $\Psi_m$  (вертикальный участок характеристики), ток  $i = 0$ , и ЭДС целиком приложена к нелинейной индуктивности

$$\frac{d\Psi}{dt} = e = E_m.$$

откуда  $\Psi = E_m t + C$ .

Во втором интервале времени от  $t = t_1$  до  $t = T/2$  напряжение на индуктивности равно нулю ( $\Psi = \Psi_m = \text{const}$ ,  $d\Psi/dt = 0$ ), а по цепи проходит ток  $i = E_m / r$ .

При  $t = 0$  потокоосцепление  $\Psi = -\Psi_m$ , и из последнего уравнения находим  $C = -\Psi_m = -0,5 \text{ Вб}$ .

При  $t = t_1$   $\Psi = \Psi_m$ , а следовательно,  $t_1 = \frac{2\Psi_m}{E_m} = 0,005 \text{ с}$ .

Графики  $i(t)$ ,  $u_L(t)$  и  $\Psi(t)$  изображены на рис. 34г, д, е.

**Задача 6.6.** В цепь, состоящую из линейных активных сопротивлений  $r_1, r_2$  и катушки с ферромагнитным сердечником, включен источник ЭДС  $e = E_m \sin \omega t$  (рис. 35). Зависимость  $B(H)$  для материала сердечника катушки показана на рис. 36а, где  $Y_m = B_m = 1 \text{ Тл}$ . Площадь сечения сердечника  $S = 10^{-4} \text{ м}^2$ , число витков  $\omega = 100$ ,  $E_m = 230 \text{ В}$ ,  $r_1 = r_2 = 1000 \text{ Ом}$ ,  $\omega = 5000 \text{ с}^{-1}$ .

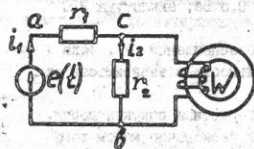


Рис. 35

Построить графики потоко-  
сцепления и каждого из токов  
цепи в функции  $\omega t$ .

**Задача 6.7.** В схеме пред-  
дущего примера (см. рис. 35)  
источник ЭДС заменен источником  
тока  $i = I_m \sin \omega t$ .

Катушка с ферромагнитным  
сердечником та же, а остальные  
данные следующие:  $r_1 = 50 \text{ Ом}$ ,  
 $r_2 = 100 \text{ Ом}$ ,  $I_m = 0,5 \text{ А}$ ,  
 $\omega = 1000 \text{ с}^{-1}$ .

Построить графики тока  $i_2$   
и напряжения  $u_{cb}$  в функции  $\omega t$ .

**Пример 6.8.** и в. Решение  
задач 6.6 и 6.7 аналогично  
решению задач 6.3...6.5.

**Задача 6.8.** Цепь, состоящая  
из линейного активного сопротив-  
ления и нелинейной индуктивно-  
сти, питается от источника син-  
усоидального тока  $i(t) =$   
 $= I_m \sin \omega t$ . Схема цепи и  
характеристика индуктивности  
изобразены на рис. 37а,б.

Дано:  $I_m = 10 \text{ А}$ ,  $\omega = 314 \text{ с}^{-1}$ ,  
 $r = 10 \text{ Ом}$ ,  $\Psi = 0,07 \text{ Вб}$ ,  $I_s = 7 \text{ А}$ .

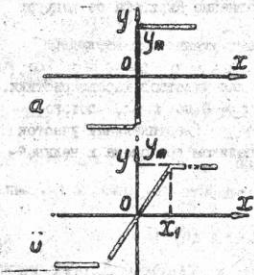


Рис. 36

Построить графики потоко-  
сцепления  $\Psi$ , напряжений на ак-  
тивном сопротивлении  $u_a$ , на нелинейной индуктивности  $u_L$  и  
на входе цепи  $u_{ab}$  в функции  $\omega t$ .

**Решение.** В интервалах времени, соответствующих изме-  
нению тока от  $-I_1$  до  $+I_1$  (ненасыщенные участки хар-  
актеристики), цепь является линейной с постоянной дифференци-  
альной индуктивностью

$$L_A = \frac{d\Psi}{di} = \frac{\Psi_m}{I_1} = \frac{0,07}{7} = 0,01 \text{ Гн}$$

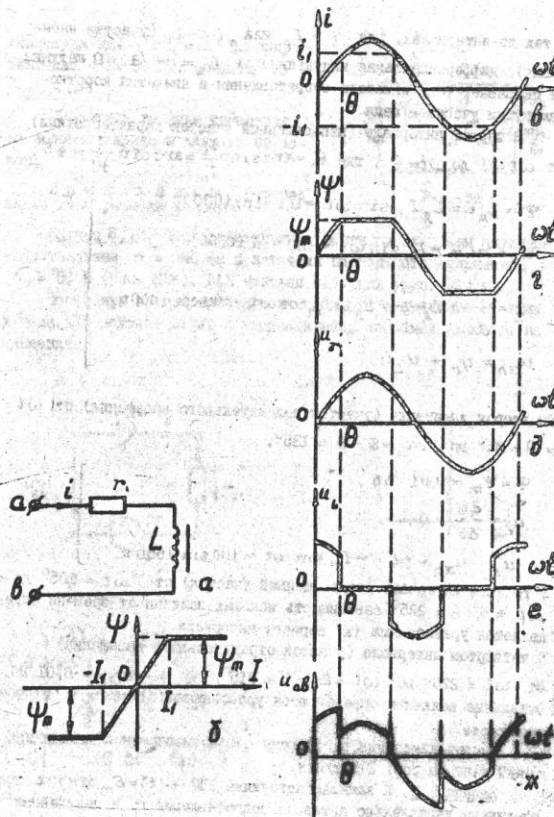


Рис. 37

В тех же интервалах, где  $i > I_A$  или  $i < -I_A$  (участки насыщения), дифференциальная индуктивность  $L_d = d\psi/di = 0$ , катушка не оказывает току никакого сопротивления и является короткозамкнутым участком цепи.

В первом интервале (ненасыщенный участок характеристики) от  $\omega t = 0$  до  $\omega t = \theta$ , где  $\theta = \arcsin \frac{I_A}{I_m} = \arcsin \frac{7}{10} = 45^\circ$ ,

$$\left. \begin{aligned} \Psi &= L_d i = L_d I_m \sin \omega t = 0,1 \sin 1000 t \\ u_r &= r i = r I_m \sin \omega t = 100 \sin 1000 t \\ u_L &= \frac{d\Psi}{dt} = L_d \frac{di}{dt} = L_d \omega I_m \cos \omega t = 100 \cos 1000 t \\ u_{ab} &= u_r + u_L \end{aligned} \right\} a$$

Во втором интервале (участок положительного насыщения) от  $\omega t = \theta = 45^\circ$  до  $\omega t = \pi - \theta = 135^\circ$ .

$$\left. \begin{aligned} \Psi &= \Psi_m = 0,01 \text{ Вб}, \\ u_L &= \frac{d\Psi}{dt} = 0, \\ u_r &= u_{ab} = r i = r I_m \sin \omega t = 100 \sin 1000 t \end{aligned} \right\} b$$

В третьем интервале (ненасыщенный участок) от  $\omega t = 135^\circ$  до  $\omega t = \pi + \theta = 225^\circ$  зависимости искоемых величин от времени определяются уравнениями (а) первого интервала.

В четвертом интервале (участок отрицательного насыщения) от  $\omega t = 225^\circ$  до  $\omega t = 2\pi - \theta = 315^\circ$ ,  $\Psi = -\Psi_m = -0,01$  Вб. Остальные величины определяются уравнениями (б) как и во втором интервале.

Кривые изменения во времени потокоцепления и всех напряжений даны на рис. 37г, д, в, ж.

**Задача 6.9.** К зажимам источника ЭДС  $e(t) = E_m \sin \omega t$  соединены параллельно активное сопротивление  $r$  и нелинейная емкость (рис. 38), кулон-вольтная характеристика которой изображена на рис. 36, причем  $Y_m = q_m = 10^{-4}$  Кл,  $x_1 = U_1 = 5$  В.

50

Амплитуда ЭДС  $E_m = 10$  В, сопротивление  $r = 50$  Ом, частота  $\omega = 1000$  с $^{-1}$ .

Построить графики изменения во времени заряда и каждого из токов.

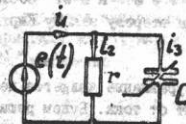
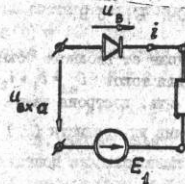


Рис. 38

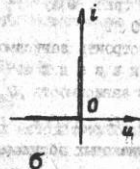
**Примечание.** Решение аналогично решению задачи 6.8.

**Задача 6.10.** Последовательно с вентилям включены активное сопротивление  $r = 200$  Ом и источник постоянного напряжения  $E_1 = 50$  В (рис. 39а). ВАХ вентиля идеальна (рис. 39б).

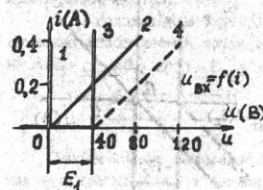
Построить кривую зависимости выходного напряжения от тока в цепи для положительных и отрицательных значений выходного напряжения.



а



б



в

Рис. 39

**Решение.** Составим уравнения для расчета тока в цепи по второму закону Кирхгофа:

$$u_{\text{вх}} = u_{\text{в}} + i r + E_1.$$

Это уравнение является нелинейным, так как  $u_{\text{в}}$  нелинейно зависит от тока. Будем решать это уравнение графически, для чего на рис. 39в отстроим характеристики: 1 - выпрямителя  $u_{\text{в}}(i)$ ;

2 - линейного сопротивления  $u_{\text{р}} = r i$  (по двум точкам при  $i = 0$  и  $i = 0,2 \text{ A}$ ,  $u_{\text{р}} = 40 \text{ В}$ ); 3 - постоянной ЭДС  $E_1$ .

Суммарная характеристика  $u_{\text{вх}} = f(i)$  показана на рис. 39в (кривая 4). Она представляет собой сумму всех трех характеристик при любом определенном значении тока, так как все элементы соединены последовательно.

**Задача 6. II.** В каждую из двух параллельных ветвей включены линейное активное сопротивление, постоянная ЭДС и идеальный вентиль (рис. 40а)  $r_1 = 100 \text{ Ом}$ ,  $r_2 = 50 \text{ Ом}$ ,  $E_1 = 5 \text{ В}$ ,  $E_2 = 10 \text{ В}$ .

Построить зависимость напряжения на входе от входного тока.

**Указания.** Согласно уравнению для тока  $i_{\text{вх}} = i_1 + i_2$  построить зависимость  $u_{\text{вх}}(i_{\text{вх}})$  можно подить, построив зависимости  $u_{\text{вх}}(i_1)$  и  $u_{\text{вх}}(i_2)$  и затем сложив их ординаты ( $i$ ) при одинаковых абсциссах ( $u_{\text{вх}}$ ).

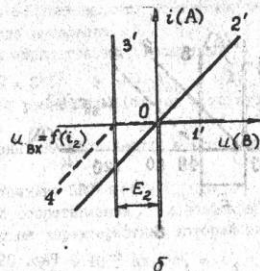
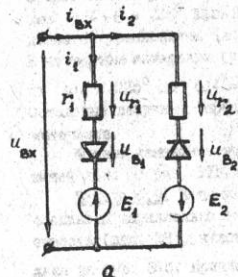


Рис. 40

Первая ветвь с током  $i_1$  полностью аналогична схеме предыдущей задачи, поэтому кривая  $u_{\text{вх}}(i_1)$  строится аналогично и имеет вид кривой 4 на рис. 39в. Характеристика второй ветви (кривая 4' на рис. 40б) строится согласно уравнению

$$u_{\text{вх}} = u_{\text{в}2} = r_2 i_2 - E_2$$

путем суммирования характеристик элементов ветви с учетом того, что выпрямитель 2 включен в непроходящем направлении: при  $u_{\text{в}2} > 0$   $i_2 = 0$ , при  $u_{\text{в}2} = 0$   $i_2 = 0$ . Для непроходящего направления характеристика выпрямителя 2 изображена на рис. 40б лучом  $\Gamma'$ .

**Задача 6. II.** Однополупериодный выпрямитель при зарядке аккумулятора работает на активное сопротивление  $r = 400 \text{ Ом}$  и встречную постоянную ЭДС  $E = 20 \text{ В}$ . Выходя вентиля идеальна (рис. 41а, б).

Построить кривую тока  $i = f(t)$  в цепи, вычислить постоянную составляющую тока при синусоидальном напряжении источника  $e(t) = 100 \sin \omega t \text{ В}$ . Найти и построить зависимость напряжения на выпрямителе от времени.

**Решение.** По второму закону Кирхгофа

$$e(t) = E_m \sin \omega t = u_{\text{в}} + r i + E.$$

1. Решаем задачу сначала аналитически методом кусочно-линейной аппроксимации характеристики нелинейного элемента. Выходя вентиля (рис. 41б) заменена отрезками прямых. Так как уравнение записано в общем виде, то его можно использовать для положительной и отрицательной частей периода напряжения  $e(t) = E_m \sin \omega t$ . В положительной части периода напряжения  $i \neq 0$ , а движение изображаемой точки происходит по вертикальному участку ВАХ,  $u_{\text{в}} = 0$ ,  $e(t) = E_m \sin \omega t = r i + E$ , откуда

$$i = \frac{E_m \sin \omega t - E}{r} = (0,25 \sin \omega t - 0,05) \text{ A}.$$

Строим кривую зависимости  $i(t)$  как сумму двух составляющих - синусоидальной и постоянной. Когда же  $e(t) = E$  отрицательно,  $i = 0$ . Получаем пульсирующий ток  $i = f(t)$  (рис. 41в).



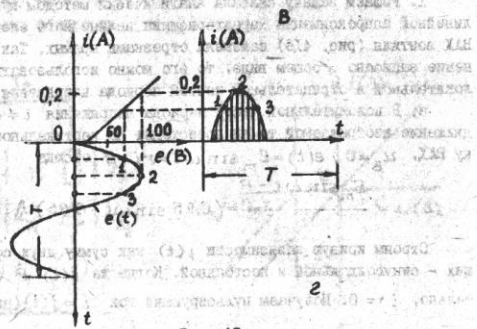
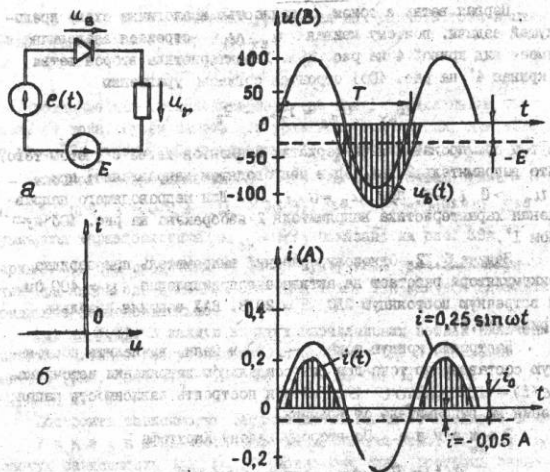


Рис. 41

6. Находим постоянную составляющую тока

$$I_0 = \frac{1}{2\pi} \int_0^{2\pi} i(\omega t) d\omega t = \frac{1}{2\pi} \int_0^{\pi} (0,25 \sin \omega t - 0,05) d\omega t =$$

$$= \frac{1}{2\pi} \left[ -0,25 \cos \omega t \right]_0^{\pi} - \frac{0,05}{2} \pi = \frac{2}{2\pi} \cdot 0,25 - 0,025 = 0,054$$

В. Напряжение на выпрямителе находим из уравнения

$$U_B = E_m \sin \omega t - E - r i,$$

учитывая, что в проводящую часть периода  $i > 0$ ,  $u_B = 0$ .  
Для непродолжительной части периода:

$$i = 0; \quad u_B = E_m \sin \omega t - E = 100 \sin \omega t - 20 \text{ В.}$$

Напряжение  $u_B$  находим суммированием синусоиды и постоянной составляющей. В начале и конце непродолжительной части периода  $E_m \sin \omega t = E - 20 \text{ В}$ ,  $u_B = 0$ ,  $i = 0$ . Когда  $e(t) > 20 \text{ В}$ , то  $i > 0$ ,  $u_B = 0$ . Результаты расчета изображены на рис. 41в.

2. Задачу можно решить графически (рис. 41г). Для этого графически находим зависимость

$$e(t) = u_B + r i + E$$

как сумму характеристик выпрямителя, сопротивления и постоянной ЭДС так же, как в задаче 6:10. Рядом с зависимостью  $e(t)$  строим зависимость  $e(t) = 100 \sin \omega t$ . Когда  $e(t) = 20 \text{ В}$ , выпрямитель начинает проводить ток; далее значения тока находим графически, используя  $e(t)$ . Получаем кривую тока  $i(t)$ , аналогичную полученной методом кусочно-линейной аппроксимации.

Задача 6.13. В схеме имеются источник постоянного напряжения  $E_0 = 7 \text{ В}$ , два источника синусоидального напряжения  $e_1 = -10 \sin \omega t$ ,  $e_2 = 15 \sin \omega t$  и два идеальных вентиля, которые работают на активную нагрузку  $r_1 = 70 \text{ Ом}$  и  $r_2 = 100 \text{ Ом}$  (рис. 42). Найти и построить кривые зависимости тока  $i_3(t)$  и напряжения на выпрямителе  $u_{B2}(t)$  и построить график зависимости  $i_3(t)$  и напряжения на выпрямителе  $u_{B2}(t)$  от времени  $t$ . Необходимо составить уравнения по законам Кирхгофа:

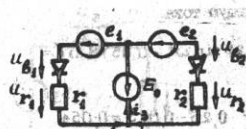


Рис. 42

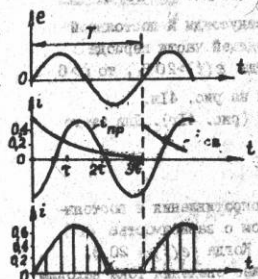
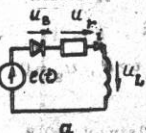


Рис. 43

в каждый положительный полупериод выпрямлено  $\delta$  тока, то каждому включению вентиля соответствует переходный процесс.

Величину тока можно найти из уравнения

$$u_a + u_r + u_L = u_a + r i + L \frac{di}{dt} = E_m \sin \omega t \quad (I)$$

Для реальной цепи в активном сопротивлении  $r$  объединяем сопротивление нагрузки и обмотки трансформатора, обладающего  $e(t)$ . При идеальной ВАХ вентиля нелинейное уравнение (I) заменяется двумя линейными:

$$e_1(t) - E_0 = u_{a2} + r_2 i_2;$$

$$e_2(t) + E_0 = -u_{a2} - r_2 i_2;$$

$$i_2 = i_1 + i_r;$$

Решение этой системы уравнений следует производить методом кусочно-линейной аппроксимации характеристик.

Вид металлы аналогично рассмотренному в задаче 6.12.

Сначала найти и построить кривые токов  $i_1$  и  $i_2$  для проводящих и непроводящих частей периода  $e_1(t)$  и  $e_2(t)$ ,

поскольку они взаимно независимы. Ток  $i_2$  найти графически по первому закону Кирхгофа. Напряжение  $u_a$  находится так же, как в задаче 6.12.

Задача 6.14. Однополупериодный выпрямитель работает на нагрузку  $r = 200 \text{ Ом}$ ,

$L = 1,27 \text{ Гн}$ . Напряжение сети

$$e(t) = 282 \sin 314t \text{ (рис. 43а)}$$

Найти и построить изменение тока нагрузки во времени.

Решение. Так как вентиль включает нагрузку

когда  $i = 0$ , то  $u_a = e(t)$ ,

$$\text{при } i > 0 \quad u_a = 0 \text{ и } r i + L \frac{di}{dt} = E_m \sin \omega t, \quad (2)$$

Обратный ток ( $i < 0$ ) через выпрямитель не проходит. Решим уравнение (2) классическим методом. Представим ток в виде суммы принужденной и свободной составляющих:

$$i = i_{пр} + i_{св} = i_{пр} + A e^{pt} \quad (3)$$

Комплексная амплитуда принужденного тока

$$\dot{i}_{мпр} = \frac{\dot{E}_m}{r + j\omega L} = \frac{E_m}{z} e^{-j\varphi} = 0,63 e^{-j63^\circ 30'}$$

Мгновенное значение принужденного тока

$$i_{пр}(t) = \frac{E_m}{z} \sin(\omega t - \varphi) = 0,63 \sin(314t - 63^\circ 30')$$

Постоянная  $A$  находится из начальных условий. При  $t = 0 \quad e = 0, i(0) = i_L(0) = 0$ . Подставляя последнее значение в уравнение (3), находим

$$A = i(0) - i_{пр}(0) = \frac{E}{z} \sin \varphi = 0,63 \sin 63^\circ 30' = 0,56$$

Корень характеристического уравнения

$$p = -r/L = -157 \text{ 1/с}$$

Постоянная времени  $\tau = L/r = 0,0054 \text{ с}$ . Период синусоидального колебания  $T = 2\pi/\omega = 0,02 \text{ с}$ . Соотношение между  $T$  и  $\tau = 3,14$ . Окончательно имеем

$$i(t) = \frac{E_m}{z} [\sin(\omega t - \varphi) + \sin \varphi e^{pt}] = 0,63 \sin(314t - 63^\circ 30') + 0,56 e^{-157t} \quad A \text{ при } i \geq 0$$

График тока представлен на рис. 43г.

### 7. ПЕРЕХОДНЫЕ ПРОЦЕССЫ В НЕЛИНЕЙНЫХ ЦЕПЯХ

**Задача 7.1.** Дано: (рис. 44а)  $U = 200$  В,  $r_1 = r_2 = 1$  кОм,  $r_3 = 6$  кОм, ВАХ НЗ  $u_c = \alpha q^2$ , где  $\alpha = 10^4$  В/А<sup>2</sup>. Определить напряжение  $u_c(t)$  после коммутации. Решить ее. В основу расчета положен метод интегрируемой аппроксимации.

1. Определим  $u_c(0)$  и  $q(0)$ .

$$u_c(0_+) = u_c(0_-) = \frac{U \cdot r_1}{r_1 + r_2 + r_3} = \frac{200 \cdot 1}{1 + 1 + 6} = 25 \text{ В}$$

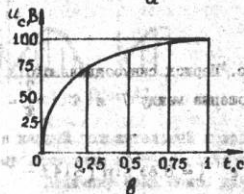
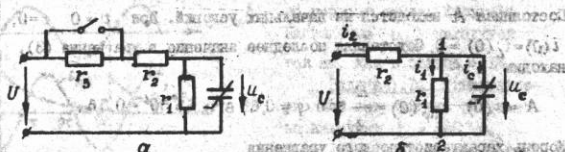


Рис. 44

2. Вычислим

$$q(0_+) = \sqrt{\frac{u_c(0_+)}{\alpha}} = \sqrt{\frac{25}{10^4}} = 0,05 \text{ Кл.}$$

$$q(\infty) = \sqrt{\frac{u_c(\infty)}{\alpha}} = \sqrt{\frac{100}{10^4}} = 0,1 \text{ Кл.};$$

$$q^2(\infty) = \frac{U \cdot r_1}{(r_1 + r_2) \alpha} = 0,01.$$

3. Составим дифференциальное уравнение состояния цепи. Рассмотрим схему после коммутации (рис. 44б):

а. По первому закону Кирхгофа для узла I имеем

$$i_2 = i_1 + i_c,$$

$$i_1 = \frac{u_c}{r_1}; \quad i_c = \frac{dq}{dt}; \quad i_2 = \frac{u_c}{r_2} + \frac{dq}{dt}$$

б. По второму закону Кирхгофа для внешнего контура можно записать

$$r_2 i_2 + u_c = U;$$

$$\frac{r_2}{r_1} u_c + r_2 \frac{dq}{dt} + u_c = U;$$

$$\left(\frac{r_2}{r_1} + 1\right) u_c + r_2 \frac{dq}{dt} = U;$$

$$\frac{dq}{dt} = \alpha \frac{r_1 + r_2}{r_1 r_2} \left(\frac{r_1}{\alpha} \frac{U}{r_1 + r_2} - q^2\right).$$

Введем обозначения:

$$A^2 = \frac{r_1}{\alpha} \frac{U}{r_1 + r_2}; \quad B = \alpha \frac{r_1 + r_2}{r_1 r_2}$$

Тогда дифференциальное уравнение запишется в виде

$$\frac{dq}{dt} = B \alpha t^2;$$

$$A = \sqrt{\frac{r_1}{\alpha} \frac{U}{r_1 + r_2}} = \sqrt{\frac{1}{10^4} \cdot \frac{200}{2}} = 0,1 = q(\infty);$$

$$B = \alpha \frac{r_1 + r_2}{r_1 r_2} = 10^4 \cdot \frac{2 \cdot 10^3}{10^6} = 20 \quad (r_1 = 1000 \text{ Ом}, r_2 = 1000 \text{ Ом}).$$

4. Решим дифференциальное уравнение. Имеем табличный интеграл вида

$$\int \frac{dx}{a^2 - x^2} = \frac{1}{2a} \ln \left| \frac{a+x}{a-x} \right|;$$

$\int \frac{dq}{A^2 - q^2} = Bt + C$ , где  $C$  - постоянная интегрирования, определяемая из начальных условий.

$$\frac{1}{2A} \ln \left| \frac{A+q}{A-q} \right| = Bt + C.$$

Для данной задачи  $q < A$  [ $q(0_+) = 0,05$  Кв,  $q(\infty) = A = 0,1$  Кв], поэтому можно опустить знак модуля. Подставляя известные величины, получаем:

$$5 \ln \frac{0,1+q}{0,1-q} = 20t + C.$$

При  $t=0$   $5 \ln \frac{0,1+0,05}{0,1-0,05} = C$ , откуда  $C = 5 \ln 3$ ;

$$5 \ln \frac{0,1+q}{0,1-q} - \frac{1}{3} = 20t;$$

$$\ln \frac{0,1+q}{0,1-q} - \frac{1}{15} = 4t;$$

$$\frac{0,1+q}{0,1-q} - \frac{1}{3} = e^{4t};$$

$$q = 0,1 \frac{3 - e^{-4t}}{3 + e^{-4t}};$$

$$u_c = \alpha q^2 = 10^4 \cdot 10^{-2} \left( \frac{3 - e^{-4t}}{3 + e^{-4t}} \right)^2 = 100 \left( \frac{3 - e^{-4t}}{3 + e^{-4t}} \right)^2.$$

Проверка по начальным и конечным значениям дает:

$$u_c(0_+) = 100 \cdot \frac{4}{16} = 25 \text{ В};$$

$$u_c(\infty) = 100 \text{ В}.$$

Постоянная времени цепи  $T = 1/4$  с. Переходный процесс практически закончится за время  $t_{\text{пер. пр}} \approx 4T \approx 1$  с. На рис. 44в показан график зависимости  $u_c(t)$ .

**Задача 7.2.** Постоянная ЭДС  $E$  включается в цепь, состоящую из последовательно соединенных сопротивления  $r$  и нелинейной индуктивности. Характеристика индуктивности для положительных значений тока приближенно может быть выражена формулой

$$i = \alpha \Psi^2 \quad \text{или} \quad \Psi = \sqrt{\frac{i}{\alpha}}.$$

Определить токосоотношение и ток в переходном режиме.

**Решение.** Записываем дифференциальное уравнение для времени переходного процесса  $t \geq 0_+$

$$\frac{d\Psi}{dt} + r i = E, \quad \frac{d\Psi}{dt} + r \alpha \Psi^2 = E.$$

В полученном уравнении переменные могут быть разделены и уравнение проинтегрировано (сведено к табличному интегралу):

$$t = \int dt = \int \frac{d\Psi}{E - r\alpha\Psi^2} = \frac{\Psi_{\text{уст}}}{E} \int \frac{d(\frac{\Psi}{\Psi_0})}{1 - (\frac{\Psi}{\Psi_0})^2},$$

$$t = \tau \operatorname{th} \frac{\Psi}{\Psi_0}, \quad \text{где } \tau = \frac{\Psi_{\text{уст}}}{E} \quad (\text{Ив})$$

$$\text{где } \tau = \frac{\Psi_{\text{уст}}}{E}.$$

Токосоотношение установившегося режима  $\Psi_{\text{уст}}$  соответствует току установившегося режима  $I_{\text{уст}} = E/r$ . По характеристике

$$\Psi_{\text{уст}} = \sqrt{I_{\text{уст}}/\alpha}, \quad \Psi_{\text{уст}}^2 = E/r\alpha, \quad \Psi(0) = 0.$$

Из соотношения (Ив) и характеристики получаем расчетные выражения

$$\Psi(t) = \Psi_{\text{уст}} \operatorname{arth} \frac{t}{\tau},$$

$$i(t) = I_{\text{уст}} \operatorname{arth}^2 \frac{t}{\tau}.$$

**Задача 7.3.** Конденсатор  $C = 80 \text{ мкФ}$ ,  $u_C(0) = 100 \text{ В}$  разряжается через нелинейное сопротивление, ВАХ которого задана на рис. 45. Определить ток в цепи методом условной линейризации.

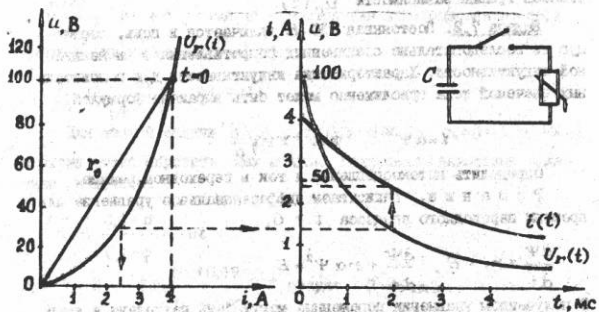


Рис. 45

**Решение.** Соединяем на характеристике  $u_C(i)$  точку начала  $u_C(0) = u_C(0) = 100 \text{ В}$ ,  $i = 4 \text{ А}$  и точку конца процесса  $u_{\text{уст}} = 0$ ,  $i_{\text{уст}} = 0$ . Полученной прямой соответствует линейное соотношение  $r_0 = 100:4 = 25 \text{ Ом}$ .

Напряжение  $u_r(t)$  линейризованной цепи, определенное классическим либо операторным методом, равно

$$u_r(t) \pm u_C(t) = u_C(0) e^{-\frac{t}{\tau}} = 100 e^{-500t} \text{ В}; \quad (2ж)$$

$$\tau = r_0 C = 2 \text{ мс}$$

По формуле (2ж) строим график напряжения  $u_r(t)$  и, наоборот, отобразив точки этого графика относительно нелинейной характеристики  $u_C(i)$ , получаем график тока  $i(t)$  (см. рис. 45).

**Задача 7.4.** Постоянная ЭДС  $E = 20 \text{ В}$  включается в цепь, состоящую из последовательно соединенных сопротивления  $r = 40 \text{ Ом}$  и нелинейной емкости. Характеристика емкости изображена на рис. 46. Начальное напряжение на емкости  $u_C(0-) = 120 \text{ В}$ .

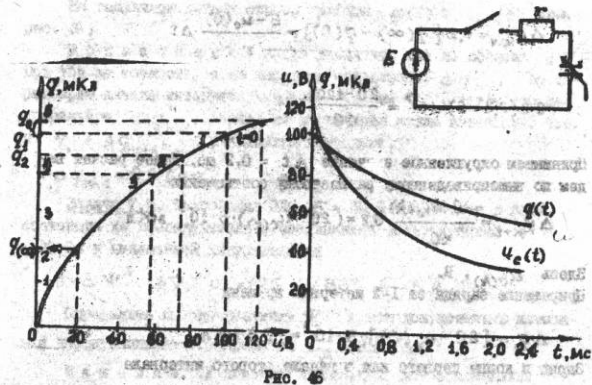


Рис. 46

Определить напряжение и заряд емкости методом последовательных интервалов времени.

**Решение.** Определяем начальную и конечную точки на характеристике. Начальному напряжению  $u_C(0) = 120 \text{ В}$  по характеристике соответствует заряд  $q(0) = 5 \text{ мкКл}$ , конечному напряжению  $u_C(\infty) = E = 20 \text{ В}$  - заряд  $q(\infty) = 2,2 \text{ мкКл}$  (см. рис. 46).

Запишем дифференциальное уравнение цепи

$$r \frac{dq}{dt} + u_C = E,$$

откуда, заменив дифференциал приращениями, получим разностное соотношение

$$\Delta q_{(k+1)} = \frac{E - u_{C(k)}}{r} \Delta t,$$

где  $k$  - номер интервала времени;  $k=0$  соответствует началу интервала,  $k=1$  - концу первого и началу второго и т.д.

$t_k = k \Delta t$ . Численное значение  $\Delta t$  выберем, задавшись начальными приращениями заряда

60,0	72,0	84,0	96,0	108,0	120,0
80,0	92,0	104,0	116,0	128,0	140,0
100,0	112,0	124,0	136,0	148,0	160,0
120,0	132,0	144,0	156,0	168,0	180,0
140,0	152,0	164,0	176,0	188,0	200,0

$$\Delta q_{k+1} = 0,2 [q(\infty) - q(0)] = \frac{E - u_c(0)}{r} \cdot \Delta t$$

$$0,2(2,2-5) \cdot 10^{-3} = \frac{20-120}{40} \cdot \Delta t.$$

Принимаем округленное значение  $\Delta t = 0,2$  мс. Далее расчет веден по итерационному разностному соотношению

$$\Delta q_{k+1} = \frac{20 - u_c(k)}{40} \cdot 0,2 = (20 - u_c(k)) \cdot 5 \cdot 10^{-5} \text{ мКл.}$$

Здесь  $u_c(k)$ , В.

Приращение заряда за  $i$ -й интервал времени

$$\Delta q_1 = [20 - u_c(0)] \cdot 5 \cdot 10^{-5} = -0,5 \text{ мКл.}$$

Заряд в конце первого или в начале второго интервала

$$q_1 = q(0) + \Delta q_1 = 5 - 0,5 = 4,5 \text{ мКл.}$$

Этому заряду соответствует по характеристике напряжение  $u_{c1} = 90$  В. Аналогично находим  $\Delta q_2 = (20-90) \cdot 5 \cdot 10^{-5} = -0,35 \text{ мКл.}$

$q_2 = q_1 + \Delta q_2 = 4,5 - 0,35 = 4,15 \text{ мКл.}$   $u_{c2} = 72$  В и т.д.

Расчет сводим в таблицу.

$k$	$t = k\Delta t$ , мс	$u_c(k)$ , В	$q_k$ , мКл	$\Delta q_{k+1}$ , мКл
0	0	120	5,00	-0,50
1	0,2	90	4,50	-0,35
2	0,4	72	4,15	-0,26
3	0,6	64	3,90	-0,22
4	0,8	58	3,68	-0,19
5	1,0	50	3,50	-0,15
6	1,2	47	3,35	-0,13
7	1,4	42	3,22	-0,11
8	1,6	39	3,11	-0,09
9	1,8	37	3,02	-0,08
10	2,0	35	2,94	

По табличным данным строим графики  $q(t)$  и  $u_c(t)$  (см. рис. 4Б).

Примечание. Можно упростить шаг по времени  $\Delta t$  при той же точности, если находить приращение  $\Delta q_{k+1}$  по параметрам начала интервала времени, т.е. по  $q_k$ , затем это же приращение  $\Delta q_{k+1}$  найти по параметрам конца интервала, т.е. по  $q_k + \Delta q_{k+1}$ , и результаты усреднить:

$$\Delta q_{k+1} = 0,5 (\Delta q_{k+1} + \Delta q_{k+1}').$$

Задача 7.5. Постоянная ЭДС  $E = 50$  В включается в цепь, состоящую из последовательно соединенных сопротивления  $r = 40$  Ом и нелинейной индуктивности

$$t = \alpha \Psi^3 + \beta \Psi, \quad \alpha = 125 \text{ А/Вс}^2, \quad \beta = 5 \text{ А/Вс}.$$

Определять потокоопределение  $\Psi(t)$  методом конечных изменений дифференциального параметра  $L_k = d\Psi/di$ .

Решение. В линейной цепи  $r, L$  потокоопределение определяется по формуле

$$\Psi(t) = \Psi_{\infty} - [\Psi_{\infty} - \Psi(0)] e^{-rt}, \quad (a)$$

где  $\Psi(0)$  и  $\Psi_{\infty}$  — соответственно начальное и конечное потокоопределение.

В нелинейной цепи корень характеристического уравнения зависит от дифференциального параметра, т.е. от потокоопределения

$$p(\Psi) = -\frac{r}{L_k} = -r \frac{di}{d\Psi} = -r(3\alpha\Psi^2 + \beta). \quad (b)$$

Зададимся рядом значений времени  $t_k = t_0 + \sum \Delta t_k$ . В простейшем случае  $\Delta t = \text{const}$ ,  $t=0$ ,  $t_k = k\Delta t$ . Задача состоит в определении потокоопределения  $\Psi_k$  в моменты времени  $t_k$ .

Если за время  $\Delta t_k$  потокоопределение  $\Psi$  изменится от  $\Psi_{k-1}$  до  $\Psi_k$  при  $p(\Psi) \approx p_{k, \text{ср}} \approx p_{k-1}$ , то по аналогии с формулой (a) можно записать выражение для потокоопределения  $\Psi_k$  в конце  $k$ -го интервала времени

$$\Psi_k = \Psi_{\infty} - (\Psi_{\infty} - \Psi_{k-1}) e^{\Delta t p_{k-1}}, \quad (b)$$

где  $P_{k-1}$  определяется согласно формуле (б) по известному потокоопределению  $\Psi_{k-1}$  в начале  $k$ -го интервала времени.

Определив начальный и конечный ток  $i(0)=0$ ,  $i_{\infty} = E/r$  и по характеристике — соответствующее потокоопределение  $\Psi_0 = \Psi(0)=0$  и  $\Psi_{\infty} = \Psi(i_{\infty})$ , производим циклический расчет промежуточных значений  $\Psi_k$  по формулам (б) и (в)

$$P_0 = -r(0-b), \quad \Psi_1 = \Psi_{\infty} - (\Psi_{\infty} - \Psi_0) e^{-\Delta t / P_0}$$

$$P_1 = -r(\alpha \Psi_1 + b), \quad \Psi_2 = \Psi_{\infty} - (\Psi_{\infty} - \Psi_1) e^{-\Delta t / P_1} \text{ и т.д.}$$

Величинам  $\Psi_0, \Psi_1, \Psi_2, \dots$  соответствует моменты времени  $0, \Delta t, 2\Delta t, \dots$

Выбор величины  $\Delta t$  можно сделать методом усложненной линейзации  $\Delta t = (0,2 \dots 0,5) \tau_{\text{усл}}$  или следующим образом:

исходя из начального значения потокоопределения  $\Psi(0)$ , задаться первым значением  $\Psi_1 = \Psi(0) + (0,1 \dots 0,3)[\Psi_{\infty} - \Psi(0)]$  и после подстановки в формулу (в) решить ее относительно  $\Delta t$ , полагая  $P_{k-1} = P_0 = r[\Psi(0)]$ .

## 8. РАСЧЕТ РЕЖИМОВ РАБОТЫ ДВИГАТЕЛЯ ПОСТОЯННОГО ТОКА (ДПТ) МАЛОЙ МОЩНОСТИ

**Задача 8.1.** Двигатель в режиме противодействия развивает скорость 200 рад/с при моменте нагрузки  $M = 5 \cdot 10^{-2}$  Н·м и токе явора  $I_A = 2$  А. Определить величину добавочного сопротивления в цепи явора, обеспечивающего заданный режим работы, если  $U = 24$  В,  $r_A = 1,15$  Ом,  $c_e \Phi = \alpha = 0,04$ .

**Решение.** Уравнение механической характеристики ДПТ в режиме противодействия имеет вид

$$-\Omega = \frac{U}{\alpha} + (r_A + r_D) \frac{M}{\alpha \beta}, \text{ где } \Omega = \omega - \omega_0 \text{ (а)}$$

где  $\alpha = c_e \Phi = 0,04$ ,  $\beta = c_m \Phi$ .

Величину  $\beta$  определяем из соотношения

$$M = c_m \Phi I_A.$$

откуда

$$c_m \Phi = \beta = \frac{M}{I_A} = \frac{5 \cdot 10^{-2}}{2} = 0,025;$$

$$r_A + r_D = \left( \frac{U}{\alpha} + \Omega \right) \frac{\alpha \beta}{M};$$

$$r_D = \left( \frac{U}{\alpha} + \Omega \right) \frac{\alpha \beta}{M} - r_A = \left( \frac{24}{0,04} + 200 \right) \frac{0,04 \cdot 0,025}{5 \cdot 10^{-2}} - 1,15 =$$

$$= 16 - 1,15 = 14,85 \text{ Ом}; \quad r_D = 14,85 \text{ Ом.}$$

Механическая характеристика ДПТ в режиме противодействия показана на рис. 47 (прямая 2).

**Задача 8.2.** Уравнение естественной механической характеристики ДПТ задано в виде

$$\Omega = 30 U - 1500 M$$

При моменте  $M_H = 5 \cdot 10^{-2}$  Н·м определить ток явора, если  $r_A = 1,67$  Ом,  $U = 24$  В, скорость  $n$ , если  $U = U_H = 12$  В.

**Решение.** Уравнение естественной механической характеристики можно записать в виде

$$\Omega = \frac{U}{\alpha} - r_A \frac{M}{\alpha \beta}.$$

Сравнивая его с заданным уравнением, получаем

$$U/\alpha = 30 U, \text{ откуда } \alpha = 1/30;$$

$$\frac{r_A}{\alpha \beta} = 1500, \text{ следовательно, } \frac{1,67}{30 \beta} = 1500, \quad \beta \approx \frac{50}{1500} = \frac{1}{30}$$

Определяем номинальный ток явора

$$I_{AH} = \frac{M_H}{c_m \Phi} = \frac{M_H}{\beta} = \frac{5 \cdot 10^{-2}}{1/30} = 1,5 \text{ А}$$

Находим номинальную скорость

$$\Omega_H = 30 U_H - 1500 M_H = 30 \cdot 12 - 1500 \cdot 10^{-2} \approx 314 \text{ с}^{-1};$$



$$\Omega_n = \frac{2\pi n_n}{60} = \frac{\pi n_n}{30}; \quad 314 = \frac{3,14 n_n}{30}, \quad \text{откуда}$$

$$n_n = \frac{3,14 \cdot 30}{3,14} = 3000 \frac{\text{об}}{\text{мин}}$$

Скорость холостого хода равна:

$$\Omega_0 = \frac{U_n}{\alpha} = \frac{15 \cdot 30}{1} = 390 \text{ с}^{-1}$$

Естественная механическая характеристика представлена на рис. 47 (прямая 1).

Задача 8.3. Уравнение естественной механической характеристики ДПТ при  $U_n = U_n = 24 \text{ В}$  и  $r_n = 1 \text{ Ом}$  имеет вид  $\Omega = 600 - 1000 M$ . Определить постоянные скорости  $c_e \Phi$  и момента  $c_M \Phi$ , пусковой момент двигателя. При моменте  $M_n = 5 \cdot 10^{-2} \text{ Н}\cdot\text{м}$ , регулируемую скорость, получили  $\Omega_n = 600 \text{ с}^{-1}$ . Каким способом регулирования получили эту скорость при  $U = U_n$ ? Чему равен коэффициент изменения параметров? Уравнение искусственной характеристики ДПТ задано в виде

$$\Omega = 659,34 - 1207,6 M$$

Решение.

1. Определяем постоянные скорости и моменты:

$$\Omega = \frac{U}{\alpha} - r_n \frac{M}{\alpha \beta} = 600 - 1000 M;$$

$$U = U_n = 24 \text{ В}, \quad \alpha = c_e \Phi, \quad \beta = c_M \Phi$$

$$\frac{U}{\alpha} = \frac{24}{\alpha} = 600, \quad \text{откуда } \alpha = \frac{24}{600} = 0,04.$$

$$r_n \frac{1}{\alpha \beta} = 1000 \frac{1}{0,04 \beta} = 1000, \quad \text{откуда } \beta = \frac{1}{40} = 0,025.$$

2. Пусковой момент вычислим, положив  $\Omega = 0$ :

$$0 = 600 - 1000 M_n, \quad \text{откуда } M_n = 0,6 \text{ Н}\cdot\text{м},$$

$$I_{яn} = \frac{U_n}{r_n} = \frac{24}{1} = 24 \text{ А},$$

$$M_n = c_M \Phi I_{яn} = \frac{1}{40} \cdot 24 = 0,6 \text{ Н}\cdot\text{м}$$

3. Определим номинальную скорость:

$$\Omega_n = 600 - 1000 M_n = 600 - 1000 \cdot 0,6 = 550 \text{ с}^{-1}.$$

Задача:  $\Omega_n = 600 \text{ с}^{-1}$  при  $M = M_n = 5 \cdot 10^{-2} \text{ Н}\cdot\text{м}$ .

Скорость регулирования путем уменьшения потока  $\Phi$  (см. естественную (1) и искусственную (2) характеристики на рис. 48). Искусственная характеристика 2 построена при  $\Phi < \Phi_n$ .

4. Рассчитаем степень ослабления магнитного потока  $\Phi$  для обеспечения заданного режима  $M = M_n = 5 \cdot 10^{-2} \text{ Н}\cdot\text{м}$ ,  $\Omega_n = 600 \text{ с}^{-1}$ :

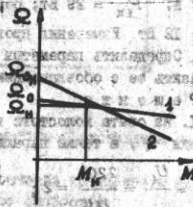


Рис. 48

$$\Omega_n = \frac{U_n}{c_e \Phi \gamma} - \frac{M_n r_n}{c_e \Phi c_M \Phi \gamma^2} = \frac{U_n}{\alpha \gamma} - \frac{M_n r_n}{\alpha \beta \gamma^2};$$

$$600 = \frac{600}{\gamma} - \frac{50}{\gamma^2};$$

$$600 \gamma^2 - 600 \gamma + 50 = 0;$$

$$\gamma^2 - \gamma + \frac{1}{12} = 0;$$

$$\gamma_{1,2} = \frac{1}{2} \pm \sqrt{\frac{1}{4} - \frac{1}{12}};$$

$$\gamma_{1,2} = 1/2 \pm \sqrt{1/6} \approx 0,5 \pm 0,41.$$

Выбираем значение  $\gamma = 0,91$ .

Уравнение искусственной механической характеристики имеет вид:

$$\Omega = \frac{600}{0,91} - \frac{1000 M}{0,91 \cdot 0,91} = 659,34 - 1207,6 M.$$

Коэффициент изменения параметров равен:

$$1/0,91 \approx 1,0989.$$



## 9. РАСЧЕТ ПАРАМЕТРОВ ТРАНСФОРМАТОРОВ И АСИНХРОННЫХ ДВИГАТЕЛЕЙ МАЛОЙ МОЩНОСТИ

**Задача 9.1.** Из опыта холостого хода и короткого замыкания трансформатора при  $U_{\text{ин}}/U_{2\text{н}} = 220/110$  В,  $f = 50$  Гц, получены следующие результаты. Режим ХХ  $U_{1\text{Х}} = 220$  В,  $I_{1\text{Х}} = 0,22$  А,  $P_{1\text{Х}} = 29$  Вт; режим КЗ  $U_{1\text{К}} = 10$  В,  $I_{1\text{К}} = 2$  А,  $P_{1\text{К}} = 12$  Вт. Измерения проводились со стороны высокого напряжения. Определить параметры схемы замещения трансформатора и изобразить ее с обозначением этих параметров.

**Решение.**

1. Из опыта холостого хода определяем коэффициент трансформации  $n$ , а также параметры  $r_0$  и  $x_0$  схемы замещения:

$$n = \frac{U_1}{U_2} = \frac{220}{110} = 2;$$

$$r_0 = \frac{U_{1\text{Х}}}{I_{1\text{Х}}} = \frac{220}{0,22} = 1000 \text{ Ом};$$

$$r_1 \ll r_0; r_0 = \frac{P_{1\text{Х}}}{I_{1\text{Х}}^2} = \frac{29}{0,22^2} = 600 \text{ Ом};$$

$$x_0 = \sqrt{r_0^2 - r_1^2} = 800 \text{ Ом}.$$

2. Из опыта короткого замыкания определяем параметры  $r_1, r_2, x_{1\text{с}}, x_{2\text{с}}$  схемы замещения:

$$r_1 + r_2 = r_{\text{к}} = \frac{P_{1\text{К}}}{I_{1\text{К}}^2} = \frac{12}{2^2} = 3 \text{ Ом};$$

$$r_1 - r_2 = \frac{r_{\text{к}}}{2} = 1,5 \text{ Ом};$$

$$x_{1\text{с}} + x_{2\text{с}} = x_{\text{к}}.$$

$$x_{\text{к}} = \sqrt{r_{\text{к}}^2 + r_0^2} = \frac{U_{1\text{К}}}{I_{1\text{К}}} = \frac{10}{2} = 5 \text{ Ом};$$

$$x_{\text{к}} = \sqrt{x_{1\text{с}}^2 + x_{2\text{с}}^2} = \sqrt{5^2 - 3^2} = 4 \text{ Ом};$$

$$x_{1\text{с}} = x_{2\text{с}} = x_{\text{к}}/2 = 2 \text{ Ом}.$$

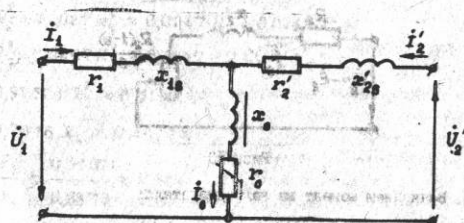


Рис. 49

Схема замещения приведенного трансформатора представлена на рис. 49.

**Задача 9.2.** Найти механическую мощность трехфазного асинхронного двигателя (АД), работающего со скоростью  $n_2 = 2910$  об/мин, если в атормозном роторе  $E_2 = 21,213$  В,  $f_1 = 50$  Гц,  $R_2 = 0,024$  Ом,  $L_{2\text{с}} = 19,108 \cdot 10^{-4}$  Гн. Определить момент на валу двигателя.

**Решение.**

1. Определяем скорость вращения магнитного поля статора:

$$n_1 = 60 \cdot f_1 = 60 \cdot 50 = 3000 \frac{\text{об}}{\text{мин}}.$$

2. Находим величину скольжения:

$$s = \frac{n_1 - n_2}{n_1} = \frac{3000 - 2910}{3000} = 0,03.$$

3. Определяем индуктивное сопротивление неподвижного ротора:

$$x_2 = \omega L_2 = 2\pi f_1 L_2 = 2 \cdot 3,14 \cdot 50 \cdot 19,108 \cdot 10^{-4} = 0,6 \text{ Ом}.$$

4. Находим механическую мощность (см. схему замещения ротора АД, представленную на рис. 50) асинхронного двигателя:

$$P_{\text{мех}} = \left[ \frac{E_2}{\sqrt{\left(\frac{R_2}{s}\right)^2 + x_2^2}} \right]^2 \cdot \frac{R_2(1-s)}{s} \approx 349,2 \text{ Вт}.$$



Рис. 60

5. Вычислим момент на валу двигателя:

$$\Omega_2 = \frac{\% \pi_2}{30} = \frac{3,14 \cdot 2910}{30} = 304,58 \text{ с}^{-1},$$

$$M = \frac{P_{\text{мех}}}{\Omega_2} = \frac{349,2}{304,58} = 1,15 \text{ Нм}.$$

**Задача 9.3.** Определить отношение активного сопротивления к индуктивному в неподвижном роторе асинхронного двигателя, если  $I_{2n}/I_m = 3$  при  $s = 0,0524$ .

**Решение.** При неподвижном роторе ДП ток в роторе направляется формулой

$$I_{2n} = \frac{E_2}{\sqrt{R_2^2 + x_2^2}}$$

Ток во вращающемся роторе находится по формуле

$$I_2 = \frac{E_2 s}{\sqrt{R_2^2 + s^2 x_2^2}}$$

Зная величину скольжения  $s = 0,0524$  и отношение  $I_{2n}/I_2 = 3$ , нетрудно определить отношение активного сопротивления к индуктивному в неподвижном роторе:

$$\frac{E_2 \sqrt{R_2^2 + s^2 x_2^2}}{\sqrt{R_2^2 + x_2^2} E_2 \cdot s} = \frac{\sqrt{R_2^2 + (0,0524)^2 x_2^2}}{\sqrt{R_2^2 + x_2^2} \cdot 0,0524} = 3;$$

$$R_2^2 + (0,0524)^2 x_2^2 = 9 (R_2^2 + x_2^2) (0,0524)^2$$

**Решение**

$$R_2^2 + 0,0027 x_2^2 \approx 0,0247 R_2^2 + 0,0247 x_2^2;$$

$$R_2^2 - 0,0247 R_2^2 \approx 0,0247 - 0,0027 x_2^2;$$

$$0,97529 R_2^2 \approx 0,0220 x_2^2;$$

$$0,9876 R_2 \approx 0,1482 x_2$$

$$\frac{R_2}{x_2} \approx \frac{0,1482}{0,9876} \approx 0,15$$

$$x_2 \approx \frac{0,9876}{0,15}$$

1. Реактивное сопротивление  
2. Вектор  
3. Вектор  
4. Вектор  
5. Вектор  
6. Вектор  
7. Вектор  
8. Вектор  
9. Вектор  
10. Вектор

Год выпуска 1988 г.

Издательство

Москва, ул. Мясницкая, д. 20

Сектор

Сектор

Сектор

Издательство Физматлит, 14.02.96. Сектор

Москва, ул. Мясницкая, д. 20

ОГЛАВЛЕНИЕ

1. Четырехполюсники .....	3
2. Фильтры .....	Б
3. Цепи с распределенными параметрами (длинные линии) .....	24
4. Нелинейные цепи постоянного тока .....	29
5. Магнитные цепи при постоянном магнитном потоке .....	37
6. Нелинейные цепи переменного тока .....	41
7. Переходные процессы в нелинейных цепях .....	58
8. Расчет режимов работы двигателя постоянного тока (ДПТ) малой мощности .....	66
9. Расчет параметров трансформаторов и асинхронных двигателей малой мощности .....	70

Редакция заказной литературы

Галина Анатольевна Гладилкина

Сборник задач по ТОЗ  
для проведения семинаров и рубежного контроля

Заведующая редакцией Н. Г. Ковалевокая

Редактор Л. М. Злыгинд

Корректор Л. И. Малютина

Подписано в печать 14.03.95. Формат 60x84/8. Бумага тип. №  
Печ. л. 4,75. Усл. печ. л. 4,42. Уч.-изд. л. 4,58.  
Тираж 1000 экз. Изд. № 5. Заказ 266 С

Издательство МГТУ, типография МГТУ.  
107005, Москва, 2-я Бауманская, 5.